Meteovise | Jannis Jedhoff
Schillerstraße 8, 40237 Düsseldorf

AUFTRAGGEBER

Musterfirma
Herrn Max Mustermann
Musterstraße 1
12345 Musterstadt

Datum
Dienstag, 1. September 2026

Meteovise
Jannis Jedhoff, LL.M., B.Sc.
Schillerstraße 8
40237 Düsseldorf

info@meteovise.de
www.meteovise.de

St.-Nr.:105/5125/3543
W-IdNr.:DE454665314-00001

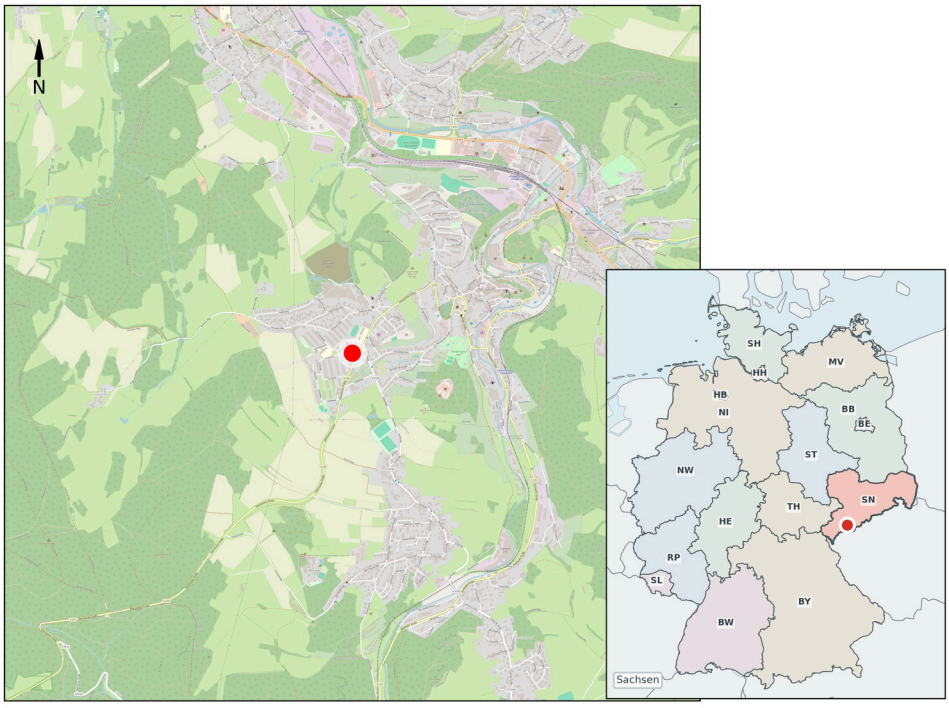
C24
IBAN: DE81 5002 4024 5163 6199 01
BIC: DEFFDEFFXXX

Niederschlagsauskunft - 10 Jahresvergleich

auf Basis des RADOLAN Kompositproduktes des DWD

ABFRAGEDATEN

Ihre Referenz	1234-456-789
Abfragedatum	28.06.2026
Abfrageort	Erzstraße 1, 08340 Schwarzenberg/Erzgebirge
Koordinaten	50,533355° N / 12,770779° E (WGS84)



Kartendaten©OpenStreetMap (ODbl)

01 · DATENGRUNDLAGE UND METHODIK

Niederschlagshöhe

Die Niederschlagshöhe beschreibt die Wassermenge, die sich infolge eines Niederschlagsereignisses auf einer horizontalen Fläche akkumuliert, sofern Abfluss, Verdunstung oder Versickerung vernachlässigt werden. Eine Niederschlagshöhe von 1 mm entspricht dabei einer Wassermenge von 1 Liter je Quadratmeter (l/qm).

Datengrundlage

Die Bestimmung der Niederschlagshöhe basiert auf dem standardisierten RADOLAN (Radar-Online-Aneichung)-Komposit Produktes des

Deutscher Wetterdienst (DWD)
CDC - Vertrieb Klima und Umwelt
Frankfurter Straße 135
63067 Offenbach.

Deutscher Wetterdienst
Wetter und Klima aus einer Hand
DWD

Dabei werden die Messwerte der Niederschlagsstationen mit den Daten der 17 Wetterradare des DWD kombiniert, wodurch eine räumlich und zeitlich hochaufgelöste Analyse der Niederschlagsverteilung ermöglicht wird.

Die RADOLAN-Radarkompositdaten werden seit Ende November 2025 im HDF5-Format bereitgestellt. Für die Auswertung werden seit dem 15.02.2026 HDF5-Datensätze verwendet; ältere Daten basieren auf den zuvor veröffentlichten Binärdatensätzen.

Für die vorliegende Auswertung des Abfragedatums **28.06.2026** werden RADOLAN-HDF5-Daten in 10-Minuten-Auflösung verwendet.

Sämtliche Zeitangaben der RADOLAN-Daten erfolgen in **koordinierter Weltzeit (UTC)**. Für die deutsche Ortszeit ist während der Winterzeit (MEZ) eine Stunde und während der Sommerzeit (MESZ) zwei Stunden hinzuzurechnen.

Datenqualität

Zur Sicherstellung der Datenqualität werden die RADOLAN-Daten fortlaufend durch den DWD kalibriert und korrigiert, um systematische Fehler sowie radarbedingte Abschattungen und Überlagerungen zu minimieren.

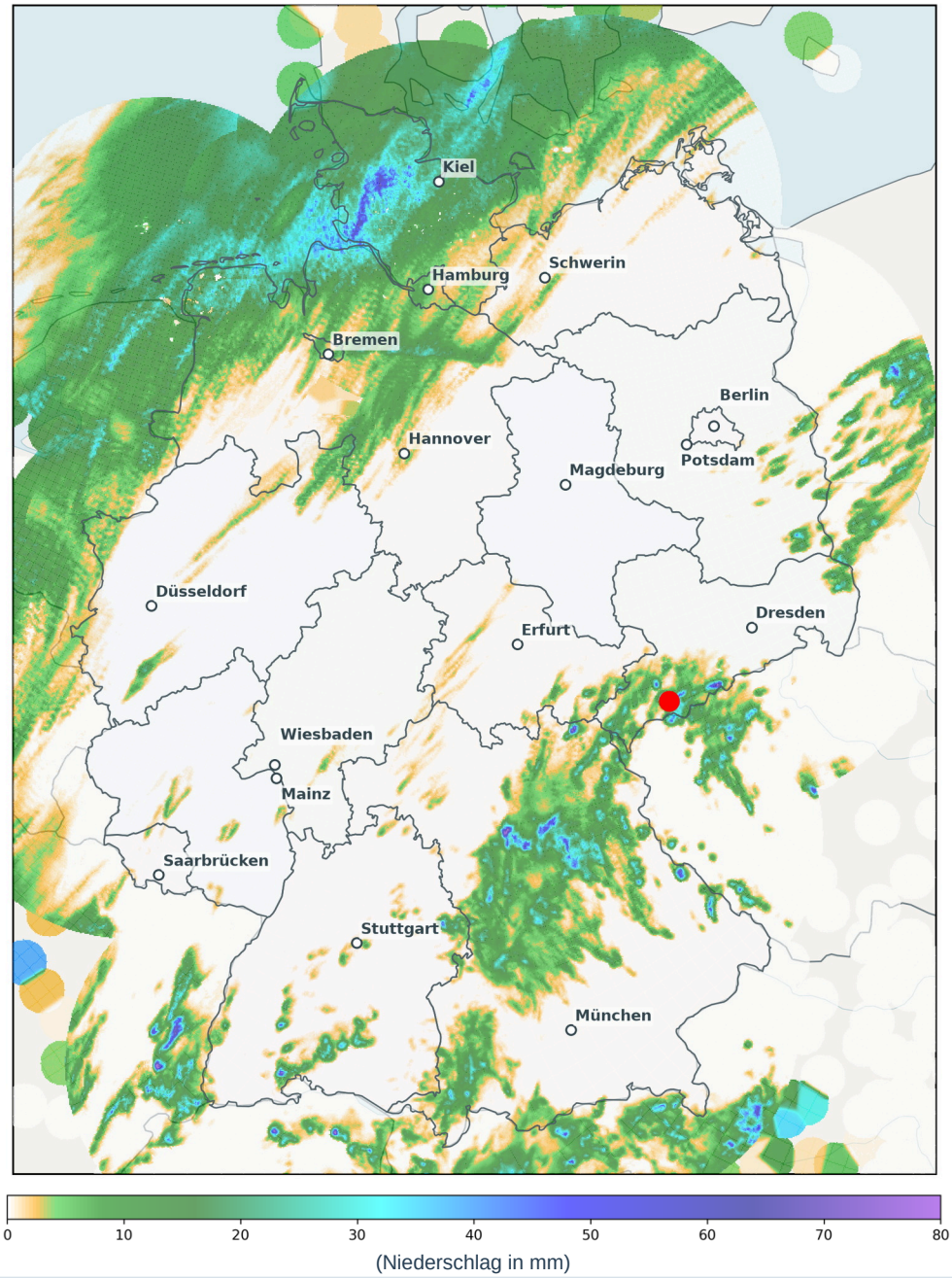
Es handelt sich nicht um direkte Messwerte, sondern um radarbasierte Niederschlagsschätzungen, die durch den Abgleich mit Bodenstationen optimiert werden. Hierdurch wird eine modellgestützte Schätzung der tatsächlichen Niederschlagsverteilung ermöglicht.

Die Daten liegen in einer räumlichen Auflösung von 1 km × 1 km vor. Der Median der absoluten Abweichungen gegenüber Stationsmessungen beträgt 0,761 mm/Tag.

ABFRAGETAG · 28.06.2026 | 02 · RÄUMLICHE EINORDNUNG

Deutschlandweite Niederschlagsverteilung am 28.06.2026

Für den **28.06.2026** lässt sich anhand der RADOLAN-Daten die nachfolgend dargestellte räumliche Verteilung der Niederschlagsmengen ermitteln.

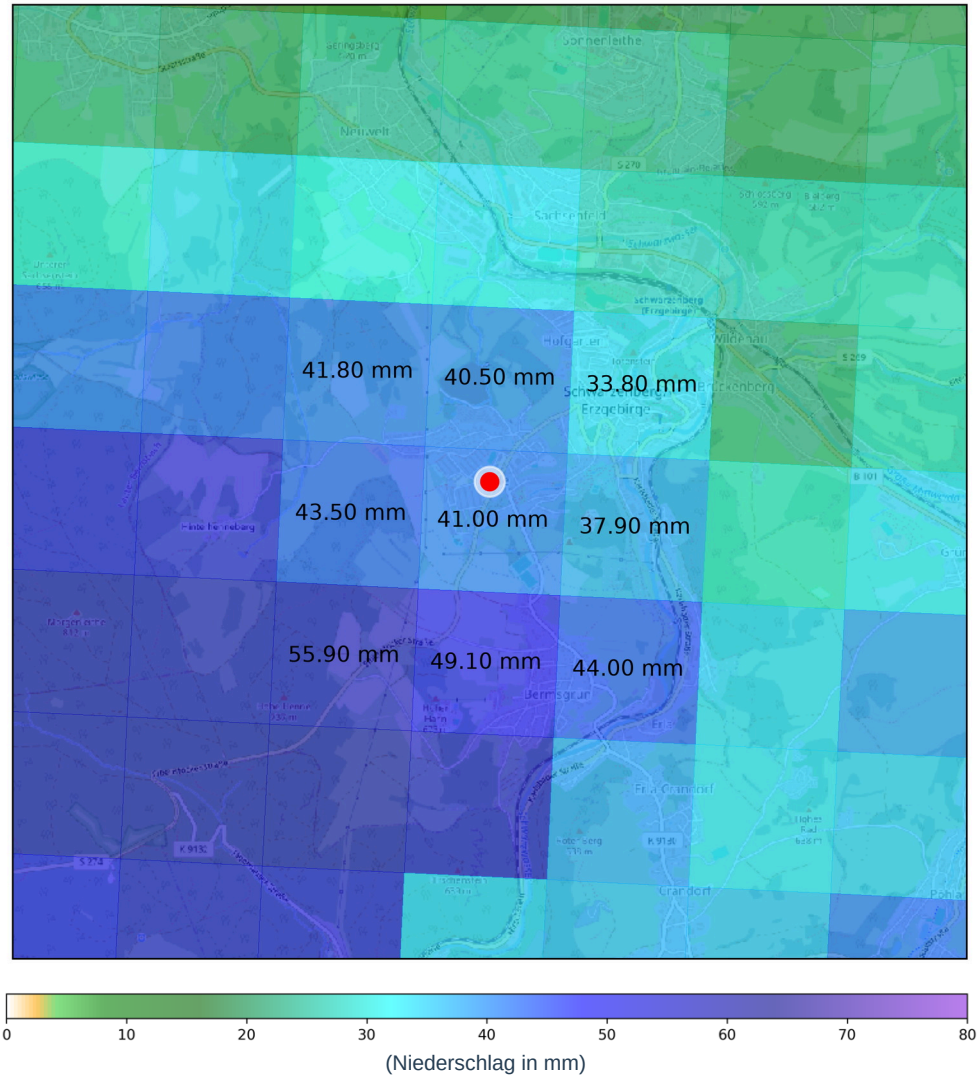


ABFRAGETAG · 28.06.2026 | 03 · ABFRAGETAG

Standortauswertung am 28.06.2026

Am **28.06.2026** können durch RADOLAN die folgenden Niederschlagswerte im 1 x 1 km Raster ausgegeben werden, das dem Abfrageort **Erzstraße 1, 08340 Schwarzenberg/Erzgebirge** mit den Koordinaten **50,533355° N / 12,770779° E (WGS84)** zugeordnet ist:

Tagessumme vom 28.06.2026



Uhrzeit	mm
00 - 01	0.0
01 - 02	0.0
02 - 03	0.0
03 - 04	0.0
04 - 05	0.0
05 - 06	0.0
06 - 07	0.0
07 - 08	0.0
08 - 09	0.0
09 - 10	0.0
10 - 11	0.0
11 - 12	0.0
12 - 13	0.0
13 - 14	0.0
14 - 15	17.0
15 - 16	23.3
16 - 17	0.0
17 - 18	0.0
18 - 19	0.0
19 - 20	0.0
20 - 21	0.0
21 - 22	0.0
22 - 23	0.7
23 - 24	0.0
Σ	**41.0**

ABFRAGETAG · 28.06.2026 | 04 · STUNDENVERLAUF

Stündliche Niederschlagsverteilung am 28.06.2026 (00–12 Uhr UTC)

00 – 01 Uhr



01 – 02 Uhr



02 – 03 Uhr



03 – 04 Uhr



04 – 05 Uhr



05 – 06 Uhr



06 – 07 Uhr



07 – 08 Uhr



08 – 09 Uhr



09 – 10 Uhr



10 – 11 Uhr



11 – 12 Uhr





(Niederschlag in mm)

Uhrzeit	mm
00 - 01	0.0
01 - 02	0.0
02 - 03	0.0
03 - 04	0.0
04 - 05	0.0
05 - 06	0.0
06 - 07	0.0
07 - 08	0.0
08 - 09	0.0
09 - 10	0.0
10 - 11	0.0
11 - 12	0.0
Σ	**0.0**

ABFRAGETAG · 28.06.2026 | 04 · STUNDENVERLAUF

Stündliche Niederschlagsverteilung am 28.06.2026 (12–24 Uhr UTC)

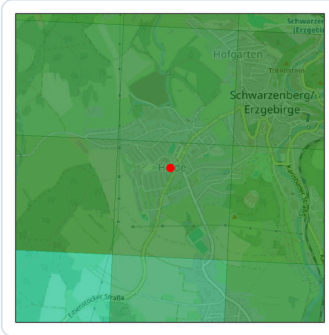
12 – 13 Uhr



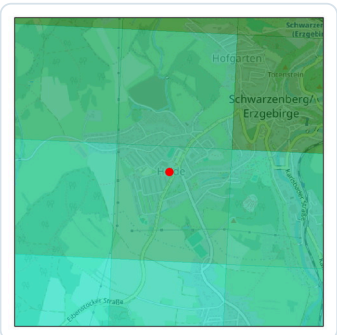
13 – 14 Uhr



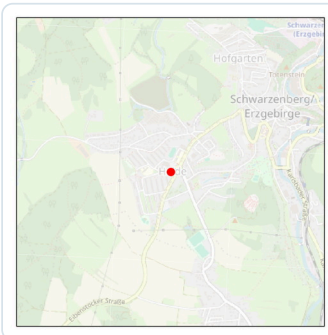
14 – 15 Uhr



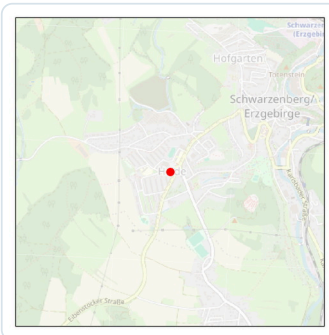
15 – 16 Uhr



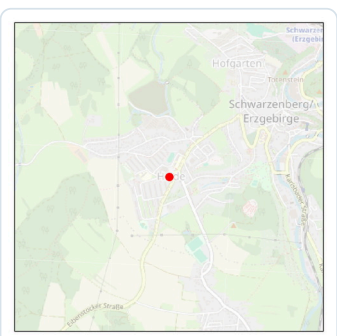
16 – 17 Uhr



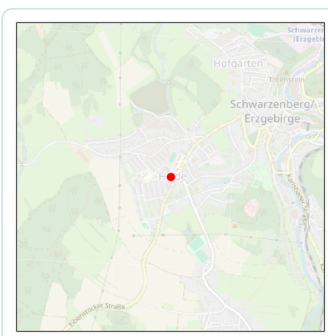
17 – 18 Uhr



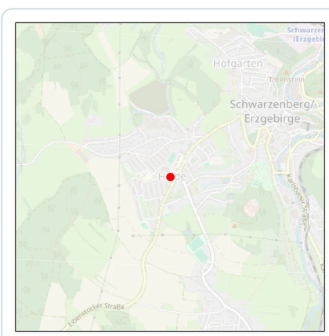
18 – 19 Uhr



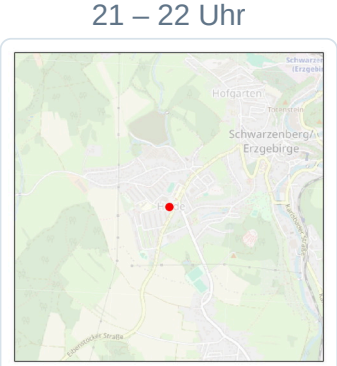
19 – 20 Uhr



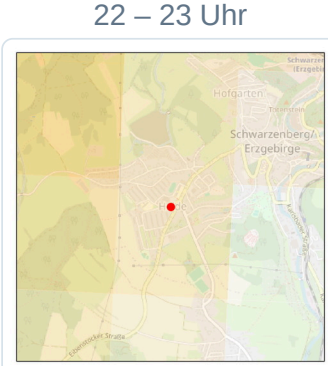
20 – 21 Uhr



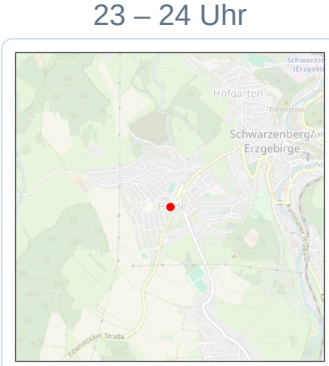
21 – 22 Uhr



22 – 23 Uhr



23 – 24 Uhr





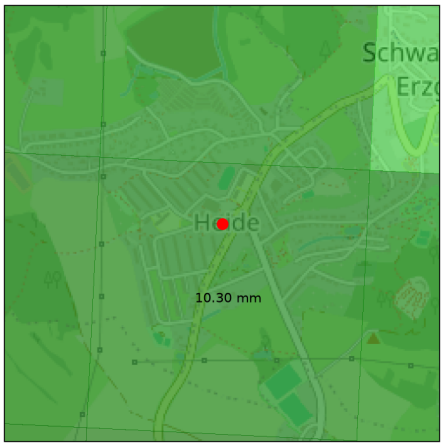
(Niederschlag in mm)

Uhrzeit	mm
12 - 13	0.0
13 - 14	0.0
14 - 15	17.0
15 - 16	23.3
16 - 17	0.0
17 - 18	0.0
18 - 19	0.0
19 - 20	0.0
20 - 21	0.0
21 - 22	0.0
22 - 23	0.7
23 - 24	0.0
Σ	**41.0**

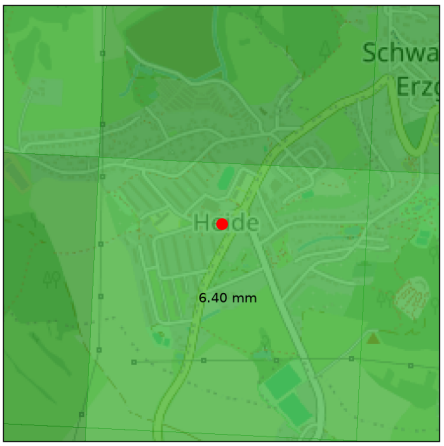
ABFRAGETAG · 28.06.2026 | 05 · 10-MINUTEN-SPITZEN

Abfragetag 28.06.2026 – 10-Minutenauflösung der Peak-Stunde

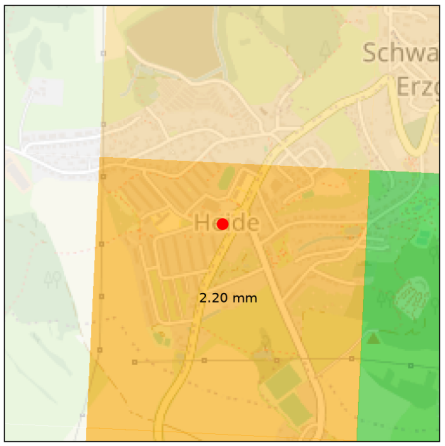
Minute 0 – 10



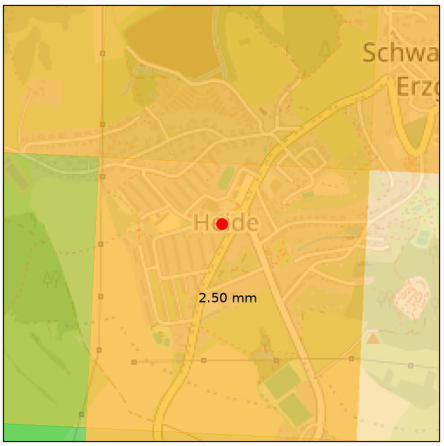
Minute 10 – 20



Minute 20 – 30



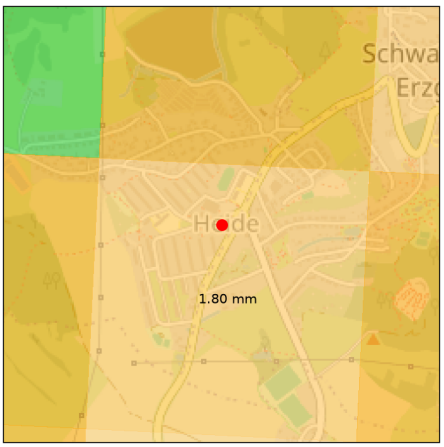
Minute 30 – 40

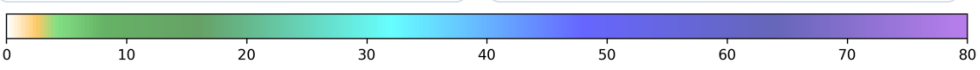


Minute 40 – 50



Minute 50 – 60





(Niederschlag in mm)

Uhrzeit	mm
14:50 - 15:00	10.3
15:00 - 15:10	6.4
15:10 - 15:20	2.2
15:20 - 15:30	2.5
15:30 - 15:40	0.1
15:40 - 15:50	1.8
Σ	**23.3**

ABFRAGETAG · 28.06.2026 | 06 · 10-JAHRESVERGLEICH

10-Jahresvergleich – Abfragetag 28.06.2026

Alle Niederschlagswerte des Vergleichszeitraums von 58 Tagen vor bis 33 Tagen nach dem Ereignis sind in der nachstehenden Tabelle dargestellt.

	Vergleichsdaten										Nur Information
Datum	2016	2017	2018	2019	2020	2021	2022	2023	2024	2025	2026
01. Mai	0.0	0.0	0.0	0.0	1.9	3.2	0.0	0.0	0.0	0.0	0.0
02. Mai	0.0	1.1	0.0	0.0	0.9	9.4	0.0	0.0	0.0	0.0	0.0
03. Mai	0.2	0.2	0.0	0.0	0.5	0.1	0.0	0.0	0.0	7.3	0.0
04. Mai	2.1	0.0	0.0	6.1	2.1	0.1	8.6	0.0	0.0	0.9	0.2
05. Mai	0.0	0.0	0.0	0.0	0.0	1.2	0.3	6.5	1.7	0.0	29.0
06. Mai	0.0	0.0	0.0	0.0	0.0	2.8	0.0	2.5	16.3	0.0	9.1
07. Mai	0.0	0.0	0.0	0.0	0.0	3.8	0.0	0.0	15.4	0.0	7.2
08. Mai	0.0	0.0	0.0	0.3	0.0	0.0	0.5	0.0	0.4	0.0	0.0
09. Mai	0.0	0.0	0.1	0.9	1.1	0.0	0.0	0.0	0.0	0.0	0.0
10. Mai	0.0	0.0	11.6	0.0	3.9	0.0	0.0	5.5	0.0	0.0	0.0
11. Mai	0.0	0.0	0.2	6.8	13.5	13.7	0.0	0.0	0.0	0.0	5.3
12. Mai	1.2	3.6	0.0	1.0	0.0	16.7	0.0	0.0	0.0	0.0	5.4
13. Mai	13.8	0.3	0.0	0.0	0.8	20.8	0.0	0.0	0.0	0.0	2.2
14. Mai	0.0	0.9	0.3	1.6	0.0	4.4	0.0	0.0	0.0	0.0	0.4
15. Mai	1.9	0.2	0.9	0.6	0.0	1.7	0.0	5.9	0.0	0.4	1.9
16. Mai	0.2	0.0	3.4	4.6	0.0	1.0	4.0	0.0	3.2	1.3	0.0
17. Mai	0.0	0.0	0.0	0.0	0.0	0.4	7.8	0.0	0.6	4.6	0.6
18. Mai	0.0	0.0	0.0	0.0	0.0	2.5	0.0	0.0	2.6	8.1	0.0
19. Mai	0.0	1.9	0.0	0.0	0.0	4.7	3.2	0.0	1.7	0.0	0.0
20. Mai	0.0	0.0	0.0	4.8	0.0	2.7	2.7	0.1	0.6	0.8	1.9
21. Mai	0.0	0.0	0.0	7.6	0.0	0.0	0.0	0.0	10.8	1.9	0.0
22. Mai	0.0	0.0	0.0	2.7	11.1	0.1	0.0	6.0	22.5	1.3	0.0
23. Mai	14.5	6.6	9.9	0.1	10.0	0.3	0.5	3.4	1.3	0.4	0.0
24. Mai	1.9	0.5	**39.0**	0.0	5.7	1.5	0.1	0.2	4.8	0.0	0.0
25. Mai	0.0	0.0	2.7	2.4	3.7	0.3	1.1	0.0	23.8	3.8	0.0
26. Mai	0.0	0.0	0.0	0.0	0.0	0.0	0.0	0.0	1.4	0.6	0.0
27. Mai	3.4	0.0	3.8	0.0	0.0	0.0	3.4	0.0	1.5	0.0	0.0
28. Mai	2.4	0.0	0.2	6.4	3.6	0.9	0.2	0.0	10.2	**39.8**	0.0
29. Mai	19.5	0.0	3.5	3.0	0.0	0.8	1.4	0.0	0.0	4.1	0.0
30. Mai	0.1	0.4	0.7	0.0	0.0	0.0	4.8	0.0	4.7	0.0	0.1
31. Mai	27.3	0.0	2.7	0.0	0.2	0.0	2.0	0.0	13.4	2.0	31.3
01. Jun	3.4	0.0	0.1	0.0	0.0	0.0	1.5	0.0	16.9	5.8	9.0
02. Jun	2.6	0.0	0.0	0.0	0.0	0.0	0.0	0.0	9.0	15.2	0.7
03. Jun	5.6	5.2	0.0	0.0	0.2	0.0	6.6	0.0	0.0	0.0	0.3
04. Jun	0.1	17.2	0.0	0.0	4.7	3.9	0.1	0.0	0.0	2.2	5.4
05. Jun	10.7	0.5	0.0	0.0	3.0	**35.9**	3.9	0.5	1.7	0.0	1.8
06. Jun	0.0	1.6	0.0	5.3	0.0	0.0	0.1	8.6	0.0	0.2	0.1
07. Jun	0.0	0.0	0.0	0.0	14.7	23.8	0.1	2.9	0.0	0.0	0.7
08. Jun	0.2	0.0	0.0	0.0	0.0	0.0	0.0	7.9	0.0	2.3	0.0
09. Jun	0.0	2.5	2.8	0.0	9.1	2.6	5.6	0.6	0.0	0.0	2.4
10. Jun	0.0	0.0	1.7	12.0	11.4	22.7	0.0	2.2	0.0	3.8	3.9
11. Jun	1.4	0.1	15.3	0.0	3.0	0.0	0.0	0.0	0.0	0.0	2.1
12. Jun	6.7	0.1	4.0	12.1	0.0	0.0	0.0	0.0	0.0	0.0	8.1
13. Jun	4.7	0.0	0.0	2.5	1.0	0.0	14.2	0.0	0.0	0.0	7.3
14. Jun	0.7	0.0	0.0	0.0	**22.9**	0.0	0.0	0.0	0.0	0.0	1.2
15. Jun	0.7	2.5	0.0	0.2	0.0	0.0	0.0	0.0	2.9	30.1	0.0
16. Jun	2.5	1.7	0.0	9.7	0.0	0.0	1.1	0.0	0.2	5.0	2.2

ABFRAGETAG · 28.06.2026 | 06 · 10-JAHRESVERGLEICH

	Vergleichsdaten										Nur Information
Datum	2016	2017	2018	2019	2020	2021	2022	2023	2024	2025	2026
17. Jun	19.8	0.0	6.7	0.0	0.5	0.0	0.0	0.3	0.5	0.0	0.0
18. Jun	0.3	0.0	0.0	0.0	2.8	0.0	0.0	0.0	4.0	0.0	0.0
19. Jun	0.0	0.0	0.0	0.0	13.3	1.9	0.0	1.1	4.2	0.0	0.0
20. Jun	0.1	0.0	0.0	0.4	15.9	1.9	1.3	0.9	0.0	0.0	0.1
21. Jun	0.5	0.0	0.5	0.0	0.0	10.9	0.0	2.8	3.2	0.0	0.0
22. Jun	0.0	**20.0**	1.3	1.8	0.0	8.7	0.0	**22.6**	3.3	0.0	0.0
23. Jun	0.0	4.4	0.0	0.0	0.0	6.9	0.0	1.5	0.0	6.4	0.0
24. Jun	0.0	0.0	3.4	0.0	2.8	3.7	6.3	0.0	0.0	0.4	0.0
25. Jun	**64.5**	0.0	0.0	0.0	8.7	11.5	0.0	0.0	0.0	0.0	0.0
26. Jun	0.2	0.0	0.0	0.0	0.0	0.0	1.2	1.1	2.6	0.4	0.0
27. Jun	0.0	1.0	0.0	0.0	0.6	0.0	14.4	13.0	**29.1**	1.1	0.0
28. Jun	0.0	0.0	2.9	0.0	9.0	0.0	2.4	0.0	0.6	0.0	**41.0**
29. Jun	0.6	19.1	0.0	0.0	1.0	8.1	0.1	0.0	0.0	0.0	13.6
30. Jun	0.6	1.3	0.0	0.0	0.0	0.0	7.9	5.8	7.0	0.0	7.4
01. Jul	0.0	2.1	0.0	0.0	0.0	0.2	6.2	0.0	9.5	0.0	15.9
02. Jul	2.9	0.0	0.0	0.0	0.1	0.0	0.0	0.1	0.4	0.0	1.0
03. Jul	1.9	0.2	0.0	0.0	0.4	0.0	0.0	0.0	3.0	0.1	0.0
04. Jul	0.0	0.0	0.0	0.0	0.0	13.0	0.0	0.0	3.3	0.0	0.0
05. Jul	0.0	0.1	3.6	0.0	0.0	1.2	0.0	0.0	0.0	0.0	3.8
06. Jul	0.0	0.8	0.7	0.3	1.0	11.4	0.0	0.0	6.5	0.0	1.7
07. Jul	0.0	12.3	0.0	0.6	0.0	18.7	10.9	0.0	0.0	3.7	3.7
08. Jul	0.4	0.2	0.0	0.0	4.4	8.7	0.0	0.0	0.0	4.6	0.0
09. Jul	0.0	3.7	0.0	0.8	0.9	9.0	**16.1**	0.0	0.0	2.1	0.0
10. Jul	0.0	9.6	4.2	0.0	0.0	0.0	0.0	0.4	0.2	0.0	0.0
11. Jul	0.3	5.9	3.7	1.7	0.0	16.9	0.0	0.0	1.1	4.3	0.0
12. Jul	0.6	5.7	0.8	10.0	0.0	0.0	0.0	0.4	7.5	5.7	0.0
13. Jul	4.6	0.0	0.0	**24.1**	0.0	22.2	0.8	0.0	14.2	1.5	0.0
14. Jul	18.1	2.0	0.0	5.4	0.0	1.5	3.3	0.0	0.8	0.5	**41.6**
15. Jul	0.2	6.4	0.0	0.0	8.4	5.4	0.0	0.2	0.0	8.7	0.0
16. Jul	0.0	0.0	0.4	0.0	11.6	4.3	0.0	6.2	5.5	4.9	0.8
17. Jul	6.5	1.0	0.0	0.0	0.0	21.6	0.0	0.0	0.0	13.4	1.2
18. Jul	0.0	0.0	0.0	0.0	0.0	0.0	0.0	0.0	0.0	2.0	3.0
19. Jul	0.0	0.0	0.0	3.2	5.0	0.0	0.0	3.8	0.0	0.0	0.2
20. Jul	0.0	11.1	0.0	0.0	1.0	0.0	0.0	0.6	0.4	0.8	0.0
21. Jul	11.8	0.0	0.2	5.0	0.0	0.0	3.5	3.1	0.0	27.2	0.0
22. Jul	0.0	0.4	1.4	0.0	0.0	0.0	0.0	0.0	0.0	3.2	0.0
23. Jul	2.6	4.3	0.0	0.0	0.0	0.0	0.0	0.2	1.2	0.0	0.9
24. Jul	0.0	12.2	0.0	0.0	0.2	0.0	0.0	2.5	0.3	0.9	0.0
25. Jul	0.0	0.0	0.0	0.0	0.0	4.9	1.8	21.1	0.0	0.0	0.0
26. Jul	0.0	4.1	0.0	0.0	4.5	1.3	0.0	2.7	1.1	8.4	0.3
27. Jul	26.6	0.6	7.9	0.9	0.0	0.1	0.0	5.6	7.9	0.0	3.6
28. Jul	0.3	0.3	0.7	0.0	0.0	0.8	0.0	3.5	2.3	6.2	0.0
29. Jul	8.5	0.0	0.0	0.0	0.0	0.0	2.5	7.0	0.0	1.2	0.0
30. Jul	0.0	0.0	0.0	0.0	0.0	0.0	11.1	0.9	0.0	3.0	0.1
31. Jul	10.9	5.5	4.4	1.8	0.0	0.0	0.2	1.2	1.9	0.8	5.2

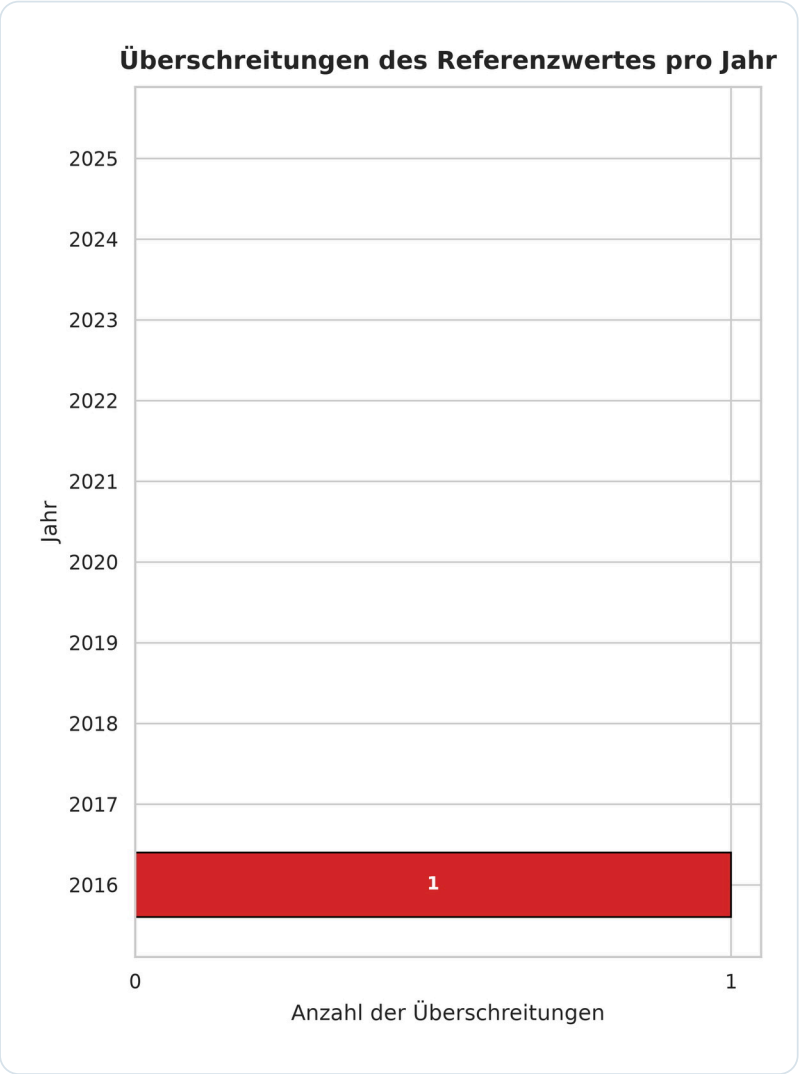
Datum	2016	2017	2018	2019	2020	2021	2022	2023	2024	2025
max	**64.5**	**20.0**	**39.0**	**24.1**	**22.9**	**35.9**	**16.1**	**22.6**	**29.1**	**39.8**

ABFRAGETAG · 28.06.2026 | HISTORISCHE EINORDNUNG

Auswertung – Tageswerte · 28.06.2026

Anzahl Überschreitungen

Dargestellt wird die Anzahl der Überschreitungen der Tagesniederschlagshöhe im Vergleichszeitraum in Bezug auf die Niederschlagshöhe **41.0 mm** des Tages **28.06.2026**.



Jahr	Überschreitungen
2025	0
2024	0
2023	0
2022	0
2021	0
2020	0
2019	0
2018	0
2017	0
2016	1
Σ	**1**

07 · TECHNISCHER NACHWEIS

Nachweis- und Qualitätsprotokoll

Kompakter technischer Herkunfts- und Verarbeitungsnachweis der standortbezogenen RADOLAN-Auswertung. Angaben zur Vollständigkeit beziehen sich auf den Ereignistag.

DATENVOLLSTÄNDIGKEIT EREIGNISTAG	SUMMENKONSISTENZ	PRÜFSTATUS
144 / 144 OK	**Δ 0,0 mm** OK	**8 / 8** OK
Zeitstempel des Ereignistags	Tages- gegen Stundensumme	Prüfungen bestanden

1 Abfrage- und Rasterbezug

SCHADEN / AKTE	1234-456-789
ABFRAGEORT	Erzstraße 1, 08340 Schwarzenberg/Erzgebirge
EREIGNISTAG	28.06.2026 · 00:00–24:00 UTC
KOORDINATEN	50,533355° N / 12,770779° E (WGS84)
RADOLAN-RASTER	Zeile 650 · Spalte 750
RASTERMITTELPUNKT	50,530980° N / 12,771085° E (WGS84)
ABSTAND / RASTERWEITE	265 m · 1000 m

2 Primärdaten und Herkunft

DATENHALTER	Deutscher Wetterdienst (DWD)
PRODUKT	RADOLAN RW · HDF5
QUELLARCHIV	RW-hdf5-260628.tar.gz
ZEITLICHE BELEGUNG	144 Zeitschritte · 10-minütig
TAGESAGGREGATION	24 RW-Stundenraster
EINHEIT / RASTERWEITE	mm · 1000 m × 1000 m
VERARBEITUNG	01.09.2026 · 14:11:17 CEST

3 Automatisierte Qualitätsprüfungen

Prüflauf 76adc64c-087…2ac32ece

- **Ereignistag: Zeitreihe vollständig**
  144/144 Zeitstempel des Ereignistags
- **Ereignistag ohne Doppelbelegung**
  144 eindeutige Zeitstempel des Ereignistags
- **Rastergeometrie konsistent**
  1200 × 1100 · unknown
- **Standortwert gültig**
  41,0 mm · gültige Rasterzelle
- **Tagesaggregation plausibel**
  24/24 Stundenwerte berücksichtigt
- **Summenprüfung bestanden**
  Abweichung Tages-/Stundensumme 0,0 mm
- **Koordinatenprüfung bestanden**
  Rasterzeile 650 · Spalte 750
- **Reportartefakte nachgewiesen**
  24 Stundenkarten · 6 Peak-Karten

4 Reproduzierbarer Nachweis

NACHWEIS ERSTELLT

BERICHTS- / PRÜF-ID	76adc64c-0872-4b65-8a65-7d152ac32ece
AUSWERTUNGSSYSTEM	Meteovise RADOLAN-Pipeline · daily-v1 · HDF5
SHA-256 DES NACHWEISDATENSATZES	be74772c10d604045610356218912253b 25242a519a86830e5e137a1f9741048d

Einordnung: Technische Vollständigkeit bezieht sich auf den Ereignistag. Radarbedingte Unsicherheiten und die flächenhafte Rasterauflösung bleiben bestehen.

Bei Fragen: **info@meteovise.de** · Jannis Jedhoff, LL.M., B.Sc. · Automatisch erstellt und ohne Unterschrift gültig.

Daten: Deutscher Wetterdienst, CC BY 4.0. Auswahl, Auswertung und Darstellung: Meteovise.
Kartendaten, soweit enthalten: © OpenStreetMap-Mitwirkende (ODbL). Quellen, Lizenzen und Bearbeitungshinweise.